

АКАДЕМИЯ НАУК СССР

РАДИОТЕХНИКА
И
ЭЛЕКТРОНИКА

Том XXXII

(ОТДЕЛЬНЫЙ ОТТИСК)

8

МОСКОВА · 1987

$$\alpha = ka, \quad \alpha_1 = k_1 a, \quad \beta = kd, \quad w_0 = \sqrt{\mu_0/\epsilon_0}, \quad w = \sqrt{\mu/\epsilon}.$$

Можно показать, что система уравнений (7) сводится к фредгольмовской и поэтому может исследоваться методом усечения (редукции).

Из формулы (5) следует, что коэффициент прохождения системы равен произведению коэффициентов прохождения решетки в присутствии слоя и самого слоя, а коэффициент отражения — сумме коэффициентов отражения от слоя и решетки в присутствии слоя. Влияние слоя учитывается внутри матричных элементов и свободных членов системы (7). Подбирая параметры системы, можно минимизировать коэффициент отражения.

На рис. 2, а, б для различных значений $s=2a/d$ представлена зависимость модуля коэффициента прохождения $|B_0|$ от относительного периода решетки $D=d/\lambda$, вычислённая на ЭВМ БЭСМ-6 соответственно для $l/d=0,1$ и $0,25$ и некоторых параметров системы. Из рисунка видно, что наличие диэлектрического слоя вблизи решетки не приводит к качественному изменению дифракционной зависимости системы. Эта зависимость имеет резонансный характер, причем число резонансов возрастает с ростом заполнения решетки, пропицаемостей цилиндров и слоя и расстояния от решетки до слоя. При малых проницаемостях слоя дифракционные зависимости системы практически не отличаются от характеристик изолированной решетки.

ЛИТЕРАТУРА

1. Заридзе Р. С., Талаквадзе Г. М. Численное исследование резонансных свойств металлоэлектрической решетки. Тбилиси: Изд-во Тбил. ун-та, 1983.
2. Кеванишвили Г. Ш., Цагарешвили О. П. // РЭ. 1976. Т. 21. № 3.

Поступило в редакцию
27.IX.1985

УДК 621.372.832.01

СИНТЕЗ МНОГОЗВЕННЫХ ДЕЛИТЕЛЕЙ СВЧ С ЗАДАННЫМ РАСПРЕДЕЛЕНИЕМ МОЩНОСТИ МЕЖДУ КАНАЛАМИ

Копин В. В.

Основное положительное свойство многозвенных делителей мощности (МДМ) СВЧ — равномерность амплитуды и линейность фазы коэффициента передачи в широком диапазоне частот. В работах [1—4] приведены сведения по синтезу и расчету МДМ на N каналов с равным делением мощности и на два канала с равным и требуемым делением. Эти сведения позволяют синтезировать ряд частных схем делителей, но не распространяются на делители с заданным распределением мощности между выходными каналами. В данной работе предлагается синтезировать МДМ с заданным распределением мощности между выходными каналами с помощью делителя-прототипа (ДП). В качестве ДП выбрал многозвездный двухканальный делитель мощности с равным делением. Такой подход позволяет определить сопротивления всех цепей делителя с заданным распределением мощности между каналами и требуемым числом выходов через параметры ДП.

Рассмотрим схему, представленную на рис. 1. МДМ состоит из входной и выходных линий с сопротивлениями R_1 и R_0 соответственно. Каждый канал делителя выполнен из n -ступенчатого трансформатора с волновыми сопротивлениями ступеней $Z_1 - Z_n$. Электрические длины всех ступеней одинаковы. Между ступенями каналов по схеме «звезда» включены балластные сопротивления $R_1 - R_n$. Не учитывая структуру поля в каналах МДМ и полагая, что всегда существует один тип волны, по аналогии с коаксиальной линией [5] цепь рис. 1 будем рассматривать как линию передачи, по которой распространяются волны тока и напряжения. В сечениях схемы рис. 1, равноудаленных от входа, потенциалы проводников одинаковы и напряжения равны. Мощность, выделяемая в нагрузочных сопротивлениях R_0 , обратно пропорциональна их величине.

Если M каналов на схеме рис. 1 объединить, т. е. соединить между собой эквипотенциальные точки, то полученный канал будет передавать в нагрузку с сопротивлением R_0/M мощность, в M раз большую. При этом волновые сопротивления

ступеней канала и соответствующие балластные сопротивления должны быть уменьшены в M раз. Таким образом, получается делитель, распределяющий одинаковую мощность в $N - M$ нагрузок с сопротивлениями R_0 и мощность, в M раз большую, в нагрузку с сопротивлением R_0/M . Величины сопротивлений эквивалентной цепи, объединяющей M каналов, определяются выражениями

$$(1) \quad R_{03} = R_0/M, \quad R_{i3} = R_i/M, \quad Z_{i3} = Z_i/M.$$

Рассуждая аналогичным образом, можно создать схему делителя с любым требуемым распределением мощности между каналами. Соотношения (1) могут быть выведены, например, с помощью аппарата матриц проводимости.

Изложенное выше можно использовать и для решения задачи не «объединения», а «разъединения» каналов. Поясним это. Пусть имеем двухканальный многозвездный

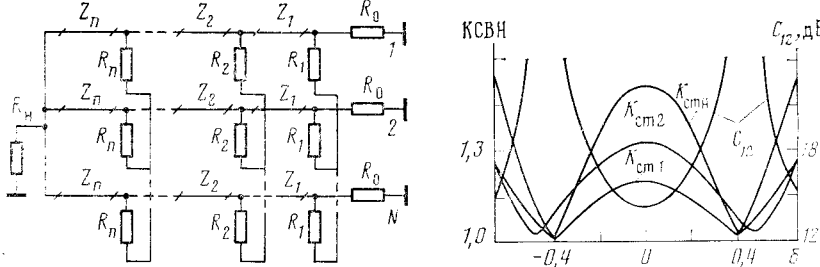


Рис. 1. Схема N -канального n -звеневого делителя мощности

Рис. 2. Частотные характеристики двухканального делителя, $\delta = \Delta f/f_0$ — относительная частотная расстройка

делитель с равным делением (на рис. 1 $N=2$). Обозначим сопротивления такого делителя R'_i , Z'_i . От схемы двухканального делителя можно перейти к схеме N -канального, пересчитав сопротивления по следующим формулам:

$$(2) \quad \begin{aligned} R_i &= R'_i N/2, \\ Z_i &= Z'_i N/2. \end{aligned}$$

Получим выражения для расчета делителя на q каналов с мощностями в каналах P_1, P_2, \dots, P_q ($P_1 > P_m$, $m=2, 3, \dots, q$).

Обозначим

$$(3) \quad k_m' = P_m/P_1.$$

Выберем такой коэффициент α , при котором все величины в (3) при умножении на α становятся целыми числами:

$$(4) \quad k_m = \alpha k_m' = \alpha P_m/P_1.$$

Коэффициенты k_m ($m=1, 2, \dots, q$) пропорциональны мощности в каналах $1-q$. Определим число каналов:

$$(5) \quad N = \sum_{m=1}^q k_m.$$

Величина N есть число каналов делителя с равным делением, величины k_m — число объединяемых каналов N -канального делителя для получения требуемой мощности P_m в нагрузке m -го канала.

Итак, расчет делителя на q каналов с мощностями в каналах P_1, P_2, \dots, P_q сводится к следующему. Определяются сопротивления цепей двухканального делителя-прототипа R'_i , Z'_i ; по формулам (3), (4) рассчитываются α и k_m ; по (5) определяется N ; по формулам, полученным с учетом (1), (2), вычисляются сопротивления

$$(6) \quad \begin{aligned} R_{i+m} &= R'_i N/(2k_m), \quad i=0, 1, \dots, n; \quad m=1, 2, \dots, q; \\ Z_{i+m} &= Z'_i N/(2k_m), \quad i=1, 2, \dots, n; \quad m=1, 2, \dots, q, \end{aligned}$$

которые и являются сопротивлениями синтезированного МДМ. Приведен пример синтеза двухканального делителя с мощностями в выходных каналах $P_1=0,75$, $P_2=0,25$. В качестве прототипа выберем двухзвенный делитель. По формулам из работ [4, 4] при коэффициенте отражения 0,2 для чебышевской характеристики определим $R_0'=R_{n'}=1$; $Z_1'=1,32$; $Z_2'=1,52$; $R_1'=1,62$; $R_2'=1,35$. По формулам (3)–(5) рассчитываем $k_1'=1$; $k_2'=1/3$; $\alpha=3$; $k_4=3$; $k_2=1$; $N=4$. По формулам (6) определяем $R_{0 \rightarrow 1}=0,667$; $R_{0 \rightarrow 2}=2$; $R_{2 \rightarrow 1}=0,9$; $R_{1 \rightarrow 1}=1,08$; $R_{2 \rightarrow 2}=2,7$; $R_{1 \rightarrow 2}=3,24$; $Z_{1 \rightarrow 1}=0,88$; $Z_{1 \rightarrow 2}=2,64$; $Z_{2 \rightarrow 1}=1,013$; $Z_{2 \rightarrow 2}=3,04$.

Все рассчитанные сопротивления приведенные и, следовательно, безразмерные. На рис. 2 показаны частотные характеристики синтезированного МДМ, рассчитанные по методу и алгоритму [6]. Коэффициент стоячей волны по напряжению (КСВН) входного плеча $K_{ст\,1}$ точно соответствует чебышевской характеристике коэффициента отражения при уровне пульсаций 0,2; КСВН выходных плеч $K_{ст\,1}$ и $K_{ст\,2}$ имеют уровень пульсаций меньше, чем $K_{ст\,1}$; связь между выходными каналами имеет чебышевскую характеристику и изменяется от 14 дБ до ∞ ; модули коэффициентов передачи каналов 1 и 2 находятся в пределах 1,25...1,44 дБ и 6,02...6,2 дБ соответственно и обеспечивают требуемое распределение мощности, так как $10 \lg 0,25 = -6,02$ дБ, $10 \lg 0,75 = -1,25$ дБ.

Отметим, что предложенный подход к синтезу МДМ позволяет проводить проектирование делителей с различным числом каналов и требуемым распределением мощности при использовании значений сопротивлений цепей двухканального ДП с равным делением, параметры которого могут быть табулированы в широком диапазоне.

ЛИТЕРАТУРА

1. Cohn S. B. // IEEE Trans. 1968. V. MTT-16, № 2. P. 110.
2. Yee H. Y., Chang F. C., Audeh N. F. // IEEE Trans. 1970. V. MTT-18. № 10. P. 682.
3. Tetarenko R. P., Goud P. A. // IEEE Trans. 1971. V. MTT-19. № 11. P. 887.
4. Явич Л. Р. // РЭ. 1972. Т. 17. С. 1580.
5. Фельд Я. Н., Бененсон Л. С. Антенно-фидерные устройства. М.: ВВИА им. проф. И. Е. Жуковского, 1959. Ч. 2.
6. Конин В. В., Бутырина Л. А., Сыч Н. С. // Электронная техника. Сер. 1, Электроника СВЧ. 1983. Вып. 1. С. 69.

Поступило в редакцию
12.XI.1985

Статистическая радиофизика и радиотехника

УДК 621.396.010.4

ОПТИМАЛЬНОЕ ОЦЕНИВАНИЕ КОРРЕЛЯЦИОННЫХ МОМЕНТОВ В ЗАДАЧАХ АДАПТИВНОЙ НАСТРОЙКИ СИСТЕМЫ КОМПЕНСАЦИИ ПОМЕХ

Абрамович Ю. И., Кацур В. Г.

В ряде задач адаптивной компенсации помех возникает ситуация, когда параметры настройки системы компенсирующих каналов приема на значительном временном интервале не меняются, в то время как защищаемые каналы должны изменять свои параметры настройки [1]. В подобных случаях оценивание корреляционной матрицы \hat{R}_{M-1} сигналов на выходе компенсирующих $M-1$ каналов приема и вектора взаимных корреляций \hat{R}_{XY} между сигналами на выходе защищаемого и компенсирующих каналов для построения адаптивного фильтра компенсации помех \hat{W}_{M-1} по критерию минимума среднеквадратичной ошибки (СКО) [1]

$$(1) \quad \hat{W}_{M-1} = \hat{R}_{M-1}^{-1} \hat{R}_{XY}$$

может быть проведено на различных временных интервалах и в различном темпе. В этой ситуации временной ресурс позволяет заранее оценивать корреляционную матрицу R_{M-1} с произвольной точностью, а в высоком темпе – лишь вектор R_{XY} .

Однако, как следует из результатов [1], независимое безусловное оценивание